I、Ⅱ类型铝土矿,应在距古平原上的古风化壳几十公里范围内的海湾地区; 寻找Ⅲ类型铝土矿,必须是基底为碳酸盐岩含 Al<sub>2</sub>O<sub>3</sub> 较高、Al<sub>2</sub>O<sub>3</sub> /SiO<sub>2</sub> 大于1~2(如贵州清锁、修文为2~2.5)的古岩溶型洼地。上述三个类型矿床中,均必须有含煤岩系存在,它说明其下面的铝土矿还未受到剥蚀。

侯正洪、吴成柳、刘鸾玲、庄世杰、郭永芬、 简可清、苏惠 娴等 同志参加了部分工作 并提供了大量测试数据及照片,在此一并致谢。

# 主要参考文献

- [1] Bauxite-Alumina-Aluminium. Prospecting of the Second International Simposium of ICS OBA, Budapest, v. || Bauxite, pp.12; 39~52
- [2]许勒, A.: 地质译丛, 1957, No 9. 10 ~ 21页
- [3] Валетон, И.: Бокситы, Изд. Мир, М., 1974, с. 172 ~ 173
- [4] Бенеславский, С 27 .: Минералогия бокситов, 1974, с. 122
- [5] Бенеславский, С.И.: Минералогия бокситов, 1963, с.56

# 

广东冶金地质勘探公司935队 阮 汀

石绿岩溶孔雀石矿床,是一个赋存在山间盆 地第四纪拱积层下部、岩溶洼地不整合面上的隐

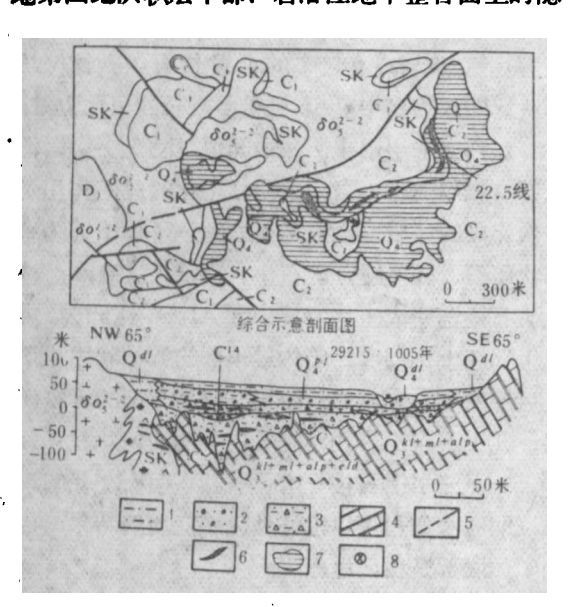


图 1 矿区地质略图

Q<sub>4</sub> 一全新统。Q<sub>3</sub> 一晚更新统。C<sub>2</sub> 一中石炭系。C<sub>1</sub> 一下石炭烷。D<sub>3</sub> 一上泥盆统。SK 一夕卡岩。 \$0<sup>2</sup><sub>3</sub> 一 杰山第二期石英闪长玢岩。1 一含砂粘土层。2 一砂砾层。3 一含孔雀石粘土砂砾混杂层。4 一大理岩。5 一断层。6 一铜矿体。7 一岩榕洼地。8 一C<sup>14</sup> 采样点

伏矿床。矿体形态简单,以似层状为主。大部分矿石为铜品位在1%以上的富矿,有用矿物90%为孔雀石。矿床规模中等,近地表产出,开采方便。

# 矿床年龄

为研究矿床形成时代,作者除采用传统的地质地貌法外,还采 C '' 样品测年。采样点位于矿区中部22.5线,地表标高 38.89 米。地层剖面自上至下依次为 (图 1):

- 5.灰、灰黑色腐植质表土层 厚0.5米;
- 4. 灰黑、土黄色砂砾、含土砂砾、含土砂层 地表为清晰可辨的山前洪积平原,砾石成分以云母石英片岩为主,花岗岩、花岗片麻岩、石英闪长岩、石英粉砂岩等少量,粒径一般 1~8厘米,次棱角状或棱角状,部分次圆状,砾石表面新鲜,断面未见风化晕圈;砂以石英居多,绢云母次之,分选性差,局部夹有薄层状或透镜状含土砂,交错层理、斜层理清楚,透水性好,未含矿,与下伏岩溶混杂堆积物和盆地边缘残坡积物不整合接触,推断其成因以洪积为主,部分为冲积或坡积相,厚17米;

18

- 3.灰黄、 土黄带紫 红色含砾 砂质粘土、粘土质 砂、砂砾等混杂堆积物 分布在岩溶洼地上部、半胶结 状,胶结物为泥质,砾石成分与上层基本相同,有时含 孔雀石矿石, 粒径一般 1~3厘米, 个别大于15厘米, 磨 圆度不一,部分磨圆度较高,次圆状或棱角状均可见。砾 石大部分已风化, 仅见砾石轮廓, 手捏即成泥沙, 部分 半风化者断面 可见多层风化晕圈。本层透水性差,为矿 区主要隔水层,含矿贫或不含矿,其成因为岩溶堆积、化 学沉积、冲积、洪积等所组成的岩溶洼地上部混杂堆积 相, 厚22米:
- 2 . 棕 褐、黄绿、灰绿、灰白等杂色含孔雀石矿石 粘土质砂、含土砂砾、砂砾等混杂堆积层 分布在洼地 中、下部,胶结状,各岩层相变迅速,量不规则犬齿状 相接,连续性差,砾石成分基本同上层,所含孔雀石矿 石大量增多, 可达 5~45%, 部分是含铜夕卡岩角砾, 粘 上为含铜胶泥,构成富矿层、铜品位1~49%不等、品 位高、变化大,砂砾状结构,透水性好,底板起伏不平, 紧贴下伏基岩。本层上部有一厚0.8~1.2米的土黄色粘 土透镜体, 其中所含腐木甚多, 腐木走向大致为 N W 3()~ S E 30 , 取 C ' 样一个, 编号石 1 , 推断其成因为岩溶 堆积、化学沉积、残坡积、冲洪积等所组成的岩溶洼 地 中、下部混杂堆积相、厚 8 米:
- 4.中石炭统黄龙群灰岩 已变质成大理岩、溶洞 发育。
- C14 测年腐木样品,采自矿区主要含矿层 位,经国家地震局地质研究所张景文测定(1980), 年龄为29215±1005年(起始年龄: 1950年; C'4 半衰期: 5568年), 属晚更新世。上述年龄值, 可作为该矿床的成矿年龄。

据报道,广东沿海陆丰[1,2]、澄海、惠东、 阳江、深圳[3]等地,在海(港)湾和河谷底部广 泛发育一层晚更新世河流相或三角洲相或海相的 粗碎屑砂砾、含土砂砾、含砾砂、含土砂、砂 层,并在该层中、上部,常见呈薄层状或透镜状的 腐木层或泥炭土层,经C14测年为距今一30000~ 16450±325年。显然,本矿区主要含矿层的年龄 与上述层位大致相当, 可与区域对比。

# 床成因

该矿床地质特征与通常的铜矿床类型截然不

- 同,其成因至今仍众说纷纭,主要观点有:
- 1.堆积-次生富集孔雀石矿床[4]或谓之"第 四纪次生富集氧化铜矿床"①:
- 2.淋滤--化学沉积型矿床,即以化学沉积为 主,伴以淋滤成矿作用的混合沉积矿床[5];
  - 3.淋积型孔雀石矿床 6:
  - 4.多元浊流淋积铜矿床②;
- 5.以机械沉积作用为主的冲、洪积砂矿床。 根据前人成果和作者实地调查研究。我们对

该矿床成因提出新的认识——岩溶孔雀石矿床。 其主要依据有:

《一》从矿石物质成分和结构构造来看,该 矿床成矿作用多种多样, 前人所提出的观点中, 第一种认识过于笼统、其余几种看法仅表明了该 矿床实际存在的某一种成矿作用方式或某一种矿 床类型,而忽略了对成矿富集和后期改造过程 起着重要制约的岩溶作用,以及矿床贮存的空 间----岩溶负地貌。

业已查明,区内西北侧燕山第二期花岗闪长 玢岩和矿区基底中石炭统黄龙群变质灰岩—大理 岩接触交代所形成的原生夕卡岩黄铜矿矿床(以 下简称原生铜矿),是该区岩溶孔雀石矿床的主 要来源,其次是其余各类含铜岩石。

从勘探和开采资料得知,在岩溶洼地西侧接 触带附近,原生铜矿上部的次生岩溶矿床中的部 分矿体, 呈棕 褐、黄绿色。矿石成分较简单, 为 夕卡岩及其风化的岩块、碎屑物,基本保持下伏 夕卡岩原生铜矿岩石的结构。常见原生硫化物溶 蚀后留下的孔隙, 带棱角状的风化夕卡岩 (多为 石榴石夕卡岩) 残骸和蜂窝状、角砾状构造; 局 部与原生矿体直接相连,如22.5线CK117孔,两 者渐变过渡,其间半风化状矿石所含黄铜矿、黄 铁矿、孔雀石等尚可见及,矿化相若 含铜品位 一般0.5~1.5%,表明是原生铜矿受风化后,在 地表水和地下水的影响下,铜自上至下淋滤(积) 而未发生明显迁移的产物。故这部分应属岩溶矿

①广东冶金地质 933 队,石绿铜矿次生矿补充勘探储量 计算说明书, 1972.

②肖少原, 多元浊流淋积成矿——石绿次生铜矿成因 初探、1980

床中的淋滤(积)残积型矿体。

堆积在岩溶洼地下部的含孔雀石粘土质砾石 (部分为碎屑、岩块) 砂混杂堆积层, 是矿区主 要含矿层位。前已述及它的成因属岩溶堆积等混 合相。

矿体形态和产状与岩溶洼地(部分溶洞)地 貌近于一致。平面上,矿体基本连成一体,长 2200米, 宽数米至550米, 面积0.79平方公里、 计8个矿体。剖面上,矿体沿岩溶侵蚀面展布, 呈似层状(部分呈囊状、透镜状、脉状和不规则 状)产出。矿体底板起伏悬殊,其中70%紧贴岩 榕洼地基岩大理岩。埋藏深度自90~-130米。顶 板较平整,基本上与岩溶洼地中的大理岩最大理 藏标高相一致。矿体厚度变化大。平均25米,最 厚119米。在相距数十米范围内,可由十余米变 为百米许。矿体与围岩接触截然呈直起直落状。 铜品位较高,平均2.08%,但变化较大,最高 49.14%。矿石以松散状居多,少数为半胶结状 和胶结状。主要为自形晶状、胶状结构、薄层 状、同心环带状、钟乳状、皮壳状、角砾状构 造。组成矿石的各种岩性、岩相、矿物组分等相 互混杂、分选性差,无一定沉积次序,无明显界 线; 磨圆度不一, 以棱角状、次棱角状常见。粘 土在洼地底部多呈 赭褐色,常具薄层状构造,有 时与底部大理岩之间尚有一层厚 3~15厘米的棕 红色胶泥状菱铁矿。砾石成分以洼地"原地"夕 卡岩、大理岩居多,次为洼地西侧山地"异地" 花岗片麻岩、石英砂岩、云母石英片岩、页岩 等。此外,尚有化学沉积作用所形成的孔雀石等。 后者为自形、半自形晶纤维束状、环带状(断面 呈同心圆状或放射状)、钟乳状 (石 笋或石钟状)、 皮壳状、角砾状、葡萄状、肾状等集合体。主要 以脉状、碎屑状分布于粘土和砂砾之间或裂隙 中,少部分以半自形、他形薄膜状、浸染状附着 在砂 砾表面,形成艳丽的绒毛。

后期岩溶的破碎和塌陷作用,常使早期岩溶 原生沉积矿床发生错位或形变,并形成岩溶角砾 状构造、漏斗构造和陷落构造等。矿体中偶尔可 见体积巨大(有时达数至数十立方米)、孤立分 布的大理岩岩块。

综上所述,岩溶作用是区内成矿富集过程中 的一个重要控矿因素。

矿区次生铜矿, 主要有用矿物是孔雀石, 硅 孔雀石和蓝铜矿少量,称为孔雀石矿床。

上述铜矿物堆积于岩溶洼地中,系由矿源体 经风化淋滤、溶解迁移、堆积富集而成。其化学 变化如下:

夕卡岩中的黄铜矿氧化成硫酸铜:

 $CuFeS_2 + 4O_4 \rightleftharpoons CuSO_4 + FeSO_4$ 

硫酸铜冷水溶液流入岩溶洼地,遇到沉淀 剂---组成洼地基底的大理岩,生成孔雀石:

2CuSO<sub>4</sub> + 2CaCO<sub>3</sub> + H<sub>2</sub>O - ►

 $Cu_2[CO_3](OH)_2 + 2CaSO_4 + CO_2$ 在接触带上部,当硫酸铜溶液遇到矿源体风 化放出的胶状硅氧时,则生成硅孔雀石:

 $CuSO_4 + CaCO_3 + H_2SiO_4 \longrightarrow$ 

 $CuSiO_3 \cdot 2H_2O + CaSO_4 + CO_2$ 

可见, 化学沉积作用是矿区重要成矿作用 之一。

需要指出,区内断裂破碎带发育,有利于氧 化作用向纵深发展,黄铁矿分布广泛,作为溶剂 的硫酸铁非常丰富,使含铜硫化物经风化淋滤容 易溶解成硫酸铜溶液,而岩溶洼地基底绝大部分 为硫酸铜的沉淀剂大理岩。这 就 是 矿区主要为 孔雀石等所组成的氧化矿石, 而缺少辉铜矿、铜 蓝等含铜硫化物的重要原因。

$$CuFeS_2 + 2Fe_2(SO_4)_3 \longrightarrow CuSO_4 + 5FeSO_4 + 2S$$

岩溶洼地标高12至-12米之间的富矿,集中 了矿区近一半的金属量和1/3以上的矿石量。该 带正好处于垂直渗透带底部,岩溶地下水上下频 警波动变化的界面上,是充满新鲜空气的良好氧 化环境。地下水的波动增强了铜的溶解作用,有 利于上述氧化铜矿物沉淀,是该矿床的主要矿化 地带。

在富矿体的边部和顶部,尚有相当数量的松 散粉末状贫矿石,呈棕褐-黑色,矿化均匀,含 铜一般0.5~1.0%,与富矿界线清楚,粘土含量 增多,呈泥状结构、半胶结状构造、含铁、锰较 高(20%左右),未见孔雀石。据物相分析,含

结合铜高达50~70%。据许志华研究认为③,该矿石中的铜主要分布在褐铁矿中。后者在电子吸收图中显示同心圆状和多孔状结构,表明系由胶体凝聚而成。电子探针扫描结果,铜在褐铁矿颗粒的面分布和线分布都是均匀的,说明铜可能呈类质同象或胶体吸附状态存在。但由于三价铁离子和二价铜离子的离子半径相差达25%,两者在表生作用下不可能进行类质同象置换,因此铜只能以离子吸附状态存在于粘土矿物表面。

岩溶洼地下部的含孔雀石混杂堆积,有时具有冲积物的特点,说明成矿过程中还受到河流机械沉积分异作用的影响。

(二)铜矿体赋存于岩溶作用所形成的空间。矿体分布在岩溶地貌中,以岩溶洼地为主,岩溶不整合侵蚀面和溶洞居次。溶蚀洼地控制了矿体形态、产状和分布。洼地基底拗槽与矿体底板起伏和铜的品位变化基本吻合(图 2)。可见,岩溶作用形成未含铜的岩溶堆积物,便矿石贫化。并且后期岩溶作用产生的塌陷,使早期形成的岩溶堆积矿床发生错位和形变。但所形成的岩溶负地貌单元,都提供了铜矿贮存的环境。

岩溶矿床"是以岩溶作用形成的空间(古的 或晚近的岩溶侵蚀面或洞穴)作为有用矿物贮集

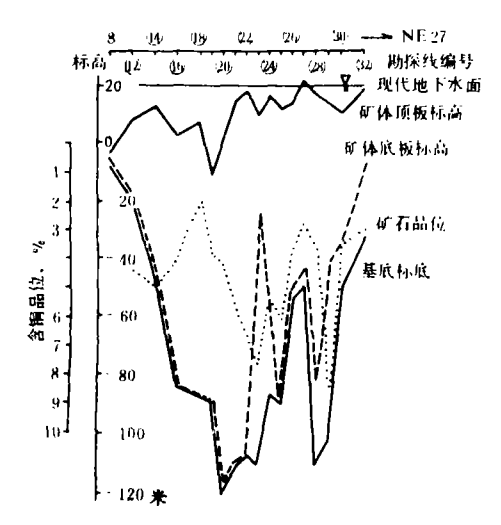


图 2 岩槽建地基底与矿体有关参数的曲线

③许志华、石绿铜矿 离析产品中的结合铜的初步研究, 1979。

场所的矿床"<sup>[7]</sup>。石绿孔雀石矿,不仅铜矿堆积在岩溶空间,而且成矿富集作用与岩溶发育同时进行,故应属岩溶矿床。由于赋存上述铜矿的含矿层具有一定层位(有特定的地质时代、岩性、岩相和古地理环境,可与区域对比),所以该类矿床也是一种层控矿床。

# 成矿意义

(一) 岩溶矿床是具有重要经济价值的工业 矿床类型之一。近十余年来,由于岩溶矿床的成 矿作启波M.Leieu (1966, 1969), A.Bernard (1972) 等作了较为深入、合理的阐述,并获得 了多数矿床学家的赞同,使其从传统的远成热液 矿床中划分出来[9]。据统计,在碳酸盐岩洞穴或 洼盆中已发现80余种次生矿物。六十年代晚期, 运用岩溶矿床成矿理论,在美国田纳西州的埃尔 姆伍德发现了一个大型锌矿床(矿石储量达5000万 吨以上,品位3.5~5.2%) ②。因而,该类矿床 的工业价值和成矿机制越来越引起国外有关 地质学家和工业部门的重视。在 我 国, 砂 锡 矿[10,11]、铝土矿和褐铁矿等与岩溶矿床 关系早已为人们所熟知。现有正在开发并具有重 要经济价值的岩溶矿床有个旧砂锡矿、平柱砂锡 矿和平果铝土矿,山东某地褐铁矿和鲁西南金刚 石砂矿,四川盆地卤水和会理铅锌矿,古潜山油 田以及凡口铅锌矿 (部分矿体),石绿孔雀石矿、 金庄砂金矿、粤中某地铌铁矿砂矿和南海诸岛鸟 粪堆积磷矿等大、中型矿床[7]。以往在国内、外 文献中[7,12],岩溶铜矿少见先例;据姜齐节 同志推测,我国除石绿矿外,尚有江西瑞昌铜岭 铜矿和滇中罗次地区的某些铜矿等。

在我国南方热带、亚热带潮湿气候型侵蚀一溶蚀及溶蚀岩溶区[13],新第三纪以来的新构造运动的抬升幅度自东至西逐渐增大,使岩溶矿床的赋存环境各处有别。以砂锡矿为例,西部强烈隆起的滇东南溶原一峰林高原区形成了溶盆、落水洞裸露型(局部漏斗、溶洞、地下河覆盖型)

④地质部情报研究所基础地质室水文地质工程地质情报 组、国外岩溶的某些进展、国外地质工作概况之四, 1981。

岩溶矿床,如个旧砂锡矿,有人称为"个旧式"<sup>[14]</sup>。中部中度隆起的黔桂溶洼—峰林山地区形成了洼盆、波立谷、漏斗、溶洞半裸露型岩溶矿床,如大厂砂锡矿。东部轻微隆起—稳定的粤桂溶原—峰林平原区形成了侵蚀堆积平原、侵蚀—溶蚀盆地、波立谷、溶洞埋藏—半裸露型岩溶矿床,如平桂砂锡矿。

(二) 第四纪岩溶铜矿的地质特征,以往报 道甚少。据初步了解,除本文前述数处岩溶铜矿 和各地常见的原生铜矿地表氧化带外,较为重要 的有智利埃克索提卡铜矿[15] 和我国台湾金瓜石 更新世英安岩(其中爆破角砾岩筒中品位悬高) 金铜矿[16]、四川峨嵋第四纪玄武岩铜矿[17]以 及安徽铜绿山晚全新世(近代)人工堆积铜 矿[18] 等。前者含铜1.85%,矿石 2 亿吨,是在 丘基卡马塔克岩铜矿顺坡下移 3 公里处堆积而成 的,是以硅孔雀石、水胆矾为主的氧化矿。后者 为古代开采原生铜矿的废矿石, 经 C14 测年为距 今3256±100年。掌握第四纪铜矿的成矿规律,不 仅可运用将今论古和地壳(矿床)演化相结合的 原则,深入研究第四纪以前形成的铜矿床(特别 是原生沉积型矿床),具有重要的理论意义,而 且还可通过次生铜矿的研究,指导寻找该地区的 原生铜矿,石绿铜矿即属其例。在该矿区根据勘 探次生矿时所总结的成矿条件和富集规律,以及 对原生矿和含铜夕卡岩的研究,在矿区西侧低山 区找到了一些新矿体、达到了一个中等规模的原 生铜矿床。

现对第四纪岩溶次生堆积铜矿的地质特征初 步总结如下:

- 1.多矿源。形成次生铜矿的矿源体,既有夕 卡岩型(石绿铜矿)、东川式沉积变质型(滇中 某些铜矿)铜矿,也有含铜丰度较高的中、基性 岩,如玄武岩、英安岩和闪长岩等。
- 2.**矿体赋存于岩溶洼**地、溶洞和不整合侵蚀 面等岩**溶空间。矿体**形态、产状和分布均受<u>上述</u> 岩**溶负地貌制约**。
- 3.岩相、古地理是主要成矿因素,成矿过程 经受了岩溶作用[可能有风化淋(残)积、化学 沉积、河流冲积和粘土离子吸附]等多种营力影

- 响,形成了多成因混杂堆积,具沉积矿床基本 特点。
- 4.矿石一般未受岩浆热液作用、变质作用和 近矿围岩蚀变影响。矿体也未受明显构造变动。
- 5.矿床富集与潜水面关系密切。富矿多位于 垂直渗透带下部岩溶地下水潜水面上下频繁波动 变化的界面上,形成孔雀石、硅孔雀石、蓝铜矿 等组成的氧化矿石。矿石含铜品位较高,选、冶 工艺较复杂。
- (三) 为寻找隐伏矿床提供了一定的找矿信 息。如前所述,粤挂溶原—峰林平原区埋藏、半 裸露型岩溶矿床,矿层赋存于溶蚀--侵蚀洼盆底 部的中、晚更新世岩溶混杂堆积,其上往往覆盖 有一层不含矿或微含矿的全新世冲洪积物[1 3], 从而构成一系列隐伏矿床。这些隐伏的埋藏、半 裸露岩溶矿床的成矿时代, 自西往东逐渐年轻: 平桂砂锡矿为白沙期(Q<sub>2</sub>)、望高期(Q<sub>3</sub>)和 全新世 (Q4)[18], 金庄砂金矿为石塘期 (Q3) 和老珀期(Q4);石绿孔雀石矿为距今29215 ±1005年(Q<sub>3</sub>), 粤中某地铌铁矿砂矿和茶排铅 锌矿为晚更新世至全新世 (Q3+4)。若再往东, 杨柳埔砂锡矿 (不属岩溶矿床, 而是海河混合 成因砂矿) 经 C 14 测年, 下部矿体为距今 10345 ±115~8920+110年(Q4-1),上部矿体距今 3980~3300±85年(Q<sub>4-2</sub>)[19], 可以佐证。

现以石绿铜矿为例,提出以下寻找第四纪隐 伏岩溶铜矿的主要找矿前提<sup>[20]</sup>:

- 1.存在规模较大的矿源体(原生矿或丰度高的含铜岩石),能为成矿提供充分的物质来源。
- 2.在成矿时期,位于热带、亚热湿润气候型 岩溶区,新构造运动稳定或微上升的地块,地质 构造软弱带,特别是几组构造线交叉部位,层 厚、质纯的碳酸盐岩分布广泛,水平及垂直的岩 溶地貌发育,具有较矿源体所处地形高度相对低 下的第四纪溶蚀—侵蚀山间洼盆或山前平原(应 有较封闭的基底),作为铜的贮矿空间。
- 3.矿区附近可见古代采炼铜矿之炉渣和废石, 地表可见孔雀石碎屑, 残积物中含 Cu0.2~0.3%, 埋藏矿体上部一般有100~1000伽玛的低磁异常; 地表水,特别是泉水, 矿化度高, 一般(下转第61页)

常受断裂带控制时,还可指示下部有热液型铅锌矿存在,据此,用原生晕圈出了Zn异常的浓集带,布孔验证见30余米厚的铅锌矿体(图 5)。因而该区从寻找钼矿转入了铅锌钼的综合找矿阶段。

# 初步认识

物化探方法和钻探验证紧密结合,在克旗小东沟矿区取得了较好的找矿效果,经过几年的实践,我们认为在该区用化探方法找矿应注意实验研究,结合验证结果,不断提高对异常的认识和推断解释水平,扩大找矿远景区。

1.在干旱条件下的 山地一荒漠景观区开展次生晕工作,如果流松层不能正常分层,应 当进行取样深度和取样介质的实验。通过实验, 确定最佳取样深度和元素较为富集的取样介 质 (如粘土、亚粘土),可以提高次生晕的找矿 效 果。

2.研究原生晕的分带规律,应当考虑成矿物质来源的多样性、成矿活动的多期性,以及构造条件对元素富集的控制因素,这样、在评价异常时才能不断深化推断解释能力。如本矿区西部综合异常,原来用小东沟岩体内外接触带的分带规律进行解释,作出了是岩体上部晕的结论,通过钻探验证和进一步沟原些晕工作,发现异常主要受断裂控制,深部不是岩体而是铅锌矿体。这样就就肥Pb,2n是钼矿体外带的成晕元素上升到在构造有利部位是成矿元素的概念。该区Pb,Zn异常有有可区南北延伸达多公里,还伴有Cu、Ag的异常,由于推断解释的深化,在Pb,Zn异常带上寻找铅锌盲矿体的可能性大大增加了,从而扩大了该区的找矿远景。

### (上接第22页)

大于200毫克/升,构成水化学异常。

我勘探公司郭凡同志参加了野外工作,中国

科学院地质研究所赵希涛同志对本文编写给予热 情指导并提供资料,在此一并致谢。

#### 主要参考文献

- [1] 阮汀, 地质与勘探, 1981, 第7期
- [2] 张景文等, 地震地质, 1982, 第3期
- [3]黄玉昆等,华南地震,1981,第1期
- [4]) 东地质局704队,铁铜矿产专辑 (第二辑),地 质出版社,1974,128~134页
  - [5] 杨世礼,广东地质科技,1981。第4期
  - [6] 梁英强, 地质与勘探, 1982, 第11期
  - [7]李国芬,地质与勘探,1981,第3期
  - [8]郑理珍, 桂林冶金地质学院学报, 1981, 第2期
- [9] Zuffaroli, P.. 层控矿床和层状矿床 (第三卷), 地质出版社, 1979, 144~180页
  - 7, 尼风山机江, 1979, 144~180贝
    - [10] 刘锦新等、地质学报, 1957, 第37卷, 第4期 [11] 田开铭、地质学报, 1957, 第37卷, 第4期
    - [12] 长春地质学院矿床板研室,矿床工业类型 (上

- 册),中国工业出版社,1961
- [13] 中国科学院地质研究所、中国岩溶研究、科学出版社、1979、148~278页
  - [14] 黄廷燃,地质论译,1983,第29卷,第2期
- [15] 外来矿床概念值得注意,地质科技动态,1978. 第18期
  - [16] 兰家聚等, 地质科技, 1973, 第5期
  - [17] 赖安佳,矿山地质,1983、第2期
- [18] 列剔杰夫B. Γ., 北京大学学报 (自然科学版) 1958, 第 4 期, 503~512 页
- [19] 阮汀等, 1983, 广东滨海砂矿成矿时代的研究, 海洋地质与第四纪地质 (排印中)
  - [20]广东704地质队,地质科技、1975、第1期